

Datum:

# OET II

7.00

8.00

9.00

10.00

11.00

12.00

13.00

14.00

## MAGNETOSTATIČNO POLJE

### 40. Ampereov zakon magnetne sile

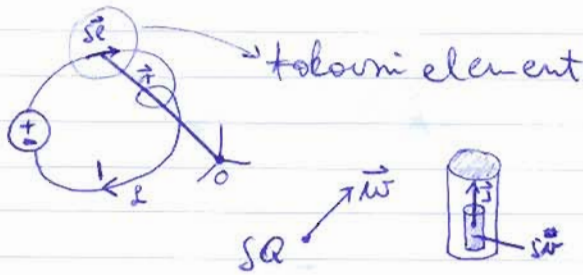
15.00

#### Tokovni element.

16.00

17.00

18.00



jakost oz. moment tokovnega elementa:

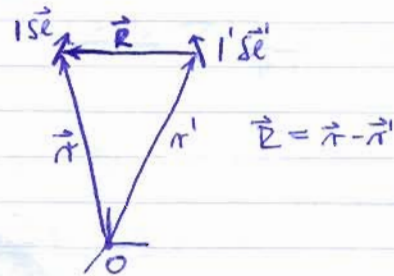
$$I \vec{dl} = I \vec{sa} \vec{u} = \vec{J} \vec{sa} = \vec{K} \vec{sa} \vec{h}$$

#### Ampereov zakon magnetne sile.

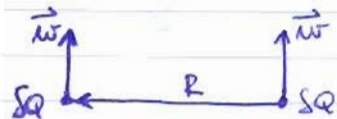
$$\vec{F}_m = \frac{\mu_0}{4\pi R^2} I \vec{dl} \times (I' \vec{dl}' \times \frac{\vec{R}}{R})$$

Ampereova mag. sila na tokovni element  $I \vec{dl}$

$$\vec{F}_m \neq -\vec{F}_m'$$

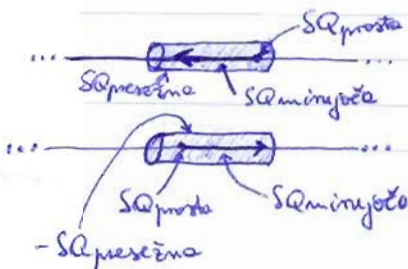


#### Primerjava Coulombove in Ampereove sile.



$\vec{F}_m$  je privlačna,  $\vec{F}_e$  je odbojna  
 $\vec{F} = \vec{F}_e + \vec{F}_m$  je odbojna  $\Rightarrow |\vec{F}_e| > |\vec{F}_m|$

$$\vec{F} = I \vec{dl} (\vec{E} + \vec{w} \times \vec{B})$$



$SA_{privlačna} + SA_{odbojna} = 0 \Rightarrow$  za  $\vec{E}$  je odgovorna  
 $+ SA_{privlačna}$  na površju žice  
 $SA_{odbojna}$  je edina ki ima  $\vec{w}$ , je odgovorna za  $\vec{F}_m$

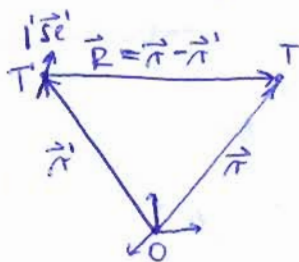
# 4.1. Vektor gostote magnetnega pretoka ( $\vec{B}$ )

Izhajamo iz Ampereovega zakona za časovno konst. enosmerne toke za katere velja brezizvornost

$$\int_A \vec{J} \cdot d\vec{a} = 0:$$

$$\vec{S}_{\vec{F}_m} = I \vec{s} \times \left( \frac{\mu_0 I' s \vec{e}' \times \vec{R}}{4\pi R^3} \right)$$

tokovnemu elementu  $I' s \vec{e}'$  pripada v točki T polje  $\vec{B}$  (ne glede na prisotnost tok. el.  $I s \vec{e}$  v tej točki)



## Biot - Savartov zakon.

$$\vec{S}_{\vec{B}}(T) = \frac{\mu_0 I' s \vec{e}' \times \vec{R}}{4\pi R^3} [T]$$

$$\vec{S}_{\vec{E}}(T) = \frac{SQ' \vec{R}}{4\pi \epsilon_0 R^3} \left[ \frac{V}{m} \right] \quad I' s \vec{e}' = \vec{J}' s u' = \vec{K}' s a' = SQ' \vec{\omega}'$$

$$B(T) = \frac{\mu_0}{4\pi} \sum_{i=1}^n \frac{(I' s \vec{e}')_i \times \vec{R}_i}{R_i^3}; \quad \vec{R}_i = \vec{r} - \vec{r}_i$$

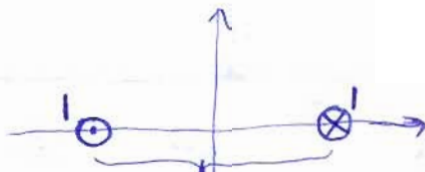
Integralni Biot-Savartov z.:

$$B(T) = \frac{\mu_0}{4\pi} \int_{(loc.)} \frac{\vec{J}(T') \times \vec{R}}{R^3} d\omega'$$

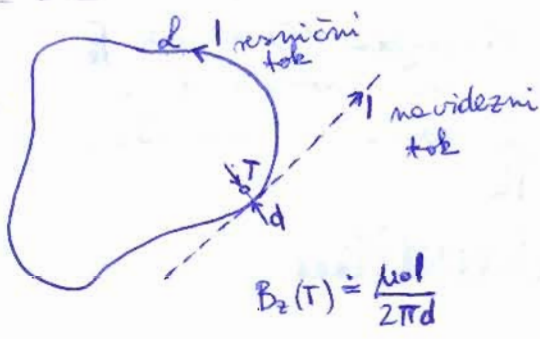
$$\vec{S}_{\vec{F}_m} = I \vec{s} \times \vec{B} = SQ' \vec{\omega} \times \vec{B} = \dots$$

Definicija Ampera:

$$f_m = \frac{\mu_0 I^2}{2\pi d}; \quad I = 1A, d = 1m \Rightarrow f_m = \frac{\mu_0}{2\pi} = 2 \cdot 10^{-7} N/m$$



$L$ :  
kontura  
 $\omega(x, y)$   
ravnini



Magn. polje v neposredni bližini žice je identično polju ravnega linijskega toka, ki bi šel vzdolž tangente na konturo  $L$ .

Datum:

## 42. Magnetni pretok ( $\Phi$ )

7.00

8.00

9.00

10.00

11.00

12.00

13.00

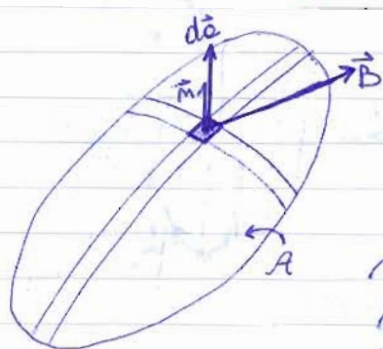
14.00

15.00

16.00

17.00

18.00



$$\Phi_{\text{skozí } A} = \int_A \vec{B} \cdot d\vec{a} \quad [V_s = Wb]$$

Če nas zanima pretok v nasprotni smeri je potrebno normalo  $\vec{n}$  določiti v  $-\vec{n} \Rightarrow$  številsko vredn. pretoka bo nasprotnega predznaka.

## 43. Neizvirnost magnetnega polja

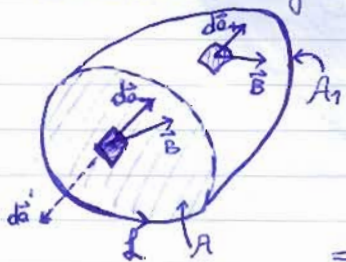
= Gaussov stavek polja  $\vec{B}$ :  $\oint \vec{B} \cdot d\vec{a} = ?$

$$\oint_A \vec{B} \cdot d\vec{a} = 0 \Rightarrow \text{III. Maxwellova enačba:}$$

Magnetno polje  $\vec{B}$  je brezizvirno (neizvirno).

### Posledica neizvirnosti magnetnega pretoka.

Na konturo  $L$  napišimo opni  $A_1$  in  $A$  (smer ploskve glede na konturo določimo s pomočjo desnosučnega vijaka).



$$\Phi = \int_A \vec{B} \cdot d\vec{a} \quad \Phi_1 = \int_{A_1} \vec{B} \cdot d\vec{a}_1$$

$A$  in  $A_1$  tvorita zapljučeno ploskev:  $\Rightarrow$  uporabimo brezizvirnost!

$$\int_A \vec{B} \cdot d\vec{a}' + \int_{A_1} \vec{B} \cdot d\vec{a}_1 = - \int_A \vec{B} \cdot d\vec{a} + \int_{A_1} \vec{B} \cdot d\vec{a}_1 = 0$$

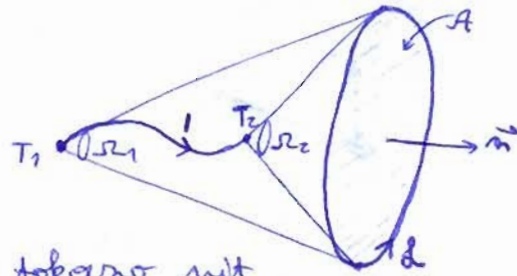
$$\Phi_1 = \Phi \quad (\text{opno})$$

Torej je fluks skozi katerokoli ploskev napeto na  $L$  neodvisen od oblike opne. Pretok  $\Phi$  ni odvisen od ploskve, ampak od  $\bullet$  konture, na katero je ploskev napeta.

## 44. Vrtinčnost magn. polja

= Stokesov stav ek vektorja  $\vec{B}$

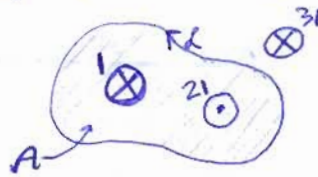
$$\oint_L \vec{B} \cdot d\vec{l} = \frac{\mu_0 I}{4\pi} (\Omega_2 - \Omega_1)$$



Vrtinčnost  $\vec{B}$ -ja za nesključeno tokarno nit (med  $T_1$  in  $T_2$ )

Vrtinčnost magnetnega polja sklenjenih tokov.

$$\oint_L \vec{B} \cdot d\vec{l} = \mu_0 I_{\text{skazi } A}$$

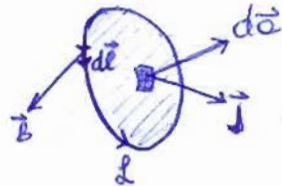


$$\oint_L \vec{B} \cdot d\vec{l} = \mu_0 (2I - I) = \mu_0 I$$

vrata tokov, ki opno zenke  $L$  prestopajo v pozitivnem smislu

$$I_{\text{skazi } A} = I_{\text{skazi } L} = \int_A \vec{J} \cdot d\vec{a}$$

$$\oint_L \vec{B} \cdot d\vec{l} = \mu_0 \int_A \vec{J} \cdot d\vec{a}$$



~~...~~

Datum:

## 45. SILE in delo magn. polja

7.00 Gibalna enačba za gibanje delca v vakuumu ob  
8.00 prisotnosti  $\vec{E}$  in  $\vec{B}$ :

9.00  
10.00 
$$-m\ddot{\vec{w}} + sQ(\vec{E} + \vec{w} \times \vec{B}) = 0$$

11.00  
12.00 1.) Gibanje delca v hom. el. polju:

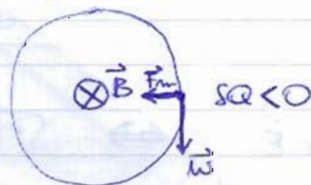
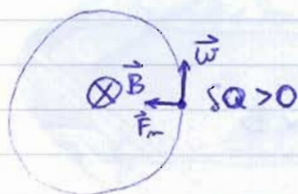
13.00  
14.00 
$$\ddot{\vec{w}} = \frac{sQ}{sm} \vec{E}$$

15.00  
16.00 Dobljeno gibanje je v smeri začetne hitrosti  
17.00 enakomerno, v smeri el. polja pa pospešeno;  
18.00 trajektorija je parabola.

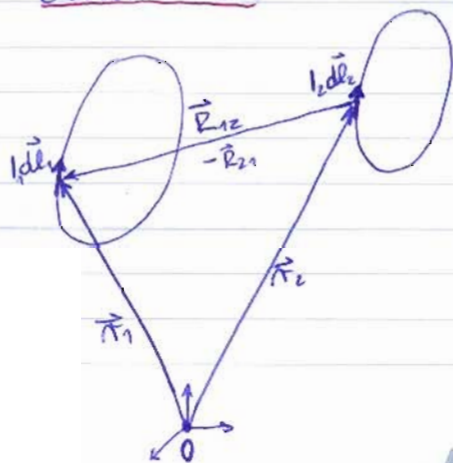
2.) Gibanje delca v hom. magn. polju:

$$\ddot{\vec{w}} = \frac{sQ}{sm} (\vec{w} \times \vec{B})$$

absolutna vredn. hitrosti se ohranja, magn. sile  
je  $\perp$  na  $\vec{B}$  in na  $\vec{w}$ ; ~~glede na  $\vec{B}$~~   
delec enakomerno kroži z nedišibnim pospeškom  
 $\ddot{\vec{w}}_{\perp}$ , po drugi strani pa se zaradi  $\vec{w}_{\parallel}$  giblje  
enakomerno  $\Rightarrow$  tir je spirala

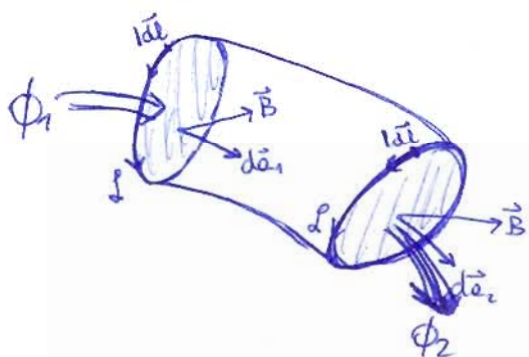


Veajemost magn. sile med dvema togima tokovnikoma zankama.



$\vec{F}_{m1}^{(2)} + \vec{F}_{m2}^{(1)} = \vec{0}$  - medsebojni  
magnetni sili med togima  
tokovnikoma zankama sta vzajemni.

## Delo magn. sil.



$$A_m = l(\Phi_2 - \Phi_1)$$

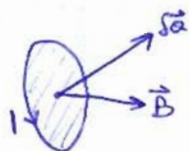
$$\Phi_2 > \Phi_1$$

Če se tokovna zanka lahko ~~giblje~~ giblje, se bo vedno premaknila tako, da se bo pretok <sup>u ref. smeri</sup> skozi njo povečal.

## Navor na tokovno zanko v magn. polju.

- zanka naj bo tako majhna, da je magn. polje lokalno homog.

$$\vec{S}_M = I \vec{S}_a \times \vec{B}$$



Težnja navora je poravnati  $\vec{S}_a$  z  $\vec{B}$ -jem (zaradi zanke v stabilno lego), da se pretok skozi zanko zaradi  $\vec{B}$  in lastni pretok zanke povečata.

## Magnetni dipol in magn. dipolski moment ( $\vec{S}_m$ )

$$\vec{S}_{Me} = \vec{S}_j \times \vec{E} \quad \Leftrightarrow \quad \vec{S}_M = I \vec{S}_a \times \vec{B}$$

majhno tokovno zanko razumemo kot točkasti magnetni dipol, priredimo ji magnetni dipolski moment ( $\vec{S}_m$ ):

$$\vec{S}_m = I \vec{S}_a \quad [Am^2]$$

Navor na tokovno zanko z momentom  $\vec{S}_m$ :

$$\vec{S}_M = \vec{S}_m \times \vec{B}$$

Datum:

## 46. Snov v magn. polju

7.00 Do sedaj smo magn. polje obravnavali le v  
8.00 vakuumu in pogojno v prevodnikih, ki vodijo  
9.00 konduktivne toke in nimajo magnetnih lastnosti.  
10.00

11.00 Gostota magnetnih dipolskih momentov ( $\vec{M}$ ).

12.00  
13.00  $\vec{M} = \lim_{\Delta V \rightarrow 0} \frac{\Delta \vec{m}}{\Delta V}$   $\left[ \frac{A}{m} \right]$  - VEKTOR (nosi informac  
14.00 MAGNETIZACIJE o notranjih  
15.00 Amperovih tokih  
16.00

17.00 47. Vektor magnetne poljske jakosti ( $\vec{H}$ )

$$\vec{H} = \frac{\vec{B}}{\mu_0} - \vec{M} \quad \left[ \frac{A}{m} \right]$$

$$\oint_L \vec{H} \cdot d\vec{l} = \int_A \vec{J}_{\text{kon}} \cdot d\vec{a}$$

→ Ustičnost vektorja  $\vec{H}$  oz.  
AMPEROV ZAKON TOKA:

Sklenjen krivuljni integral vektorja magn. poljske jakosti je enak pretoku konduktivnega toka skozi opno na konturi v  $\oplus$  smislu.

Z upeljavo vektorja  $\vec{H}$ , ki je izključno vezan na makroskopske (merljive) toke, se znebimo vektorja  $\vec{M}$ , ki je vezan na nepoznano porazdelitev Amperovih mikroskopskih tokov.

## 48. Magnetne lastnosti snovi

zveza med  $\vec{B}$ ,  $\vec{M}$ ,  $\vec{H}$

Magnetna susceptibilnost ( $\chi_m$ ):

$$\vec{M} = \chi_m \vec{H}$$

$\chi_m$  je lahko linearen faktor, funkcija  $\vec{H}$ -ja ali  $\vec{B}$ -ja ali pa tenzor, odvisno od snovi

$$\vec{B} = \mu_0 (\vec{H} + \vec{M}) = \mu_0 (\vec{H} + \chi_m \vec{H}) = \mu_0 (1 + \chi_m) \vec{H} = \mu_0 \mu_r \vec{H} = \mu \vec{H}$$

$$\mu_r = 1 + \chi_m$$

$$\vec{B} = \mu_0 \vec{H} + \mu_0 \vec{M} = \mu_0 \vec{H} + \vec{T} \quad ; \quad \vec{T} \equiv \text{vektor magnetne polarizacije} \quad [T]$$

$$\vec{D} = \mu_0 \vec{E} + \vec{P}$$

### Diamagnetizem.

$\vec{B} \cong \mu_0 \vec{H}$  Snov se ne magnetizira, obnaša se kot prazen prostor  
 $\mu_r = 0,99999 \dots$

- Cu, Ag, Au, Hg

### Paramagnetizem.

$\vec{B} \cong \mu_0 \vec{H}$  Snov se ne magnetizira, obnaša se kot prazen prostor.  
 $\mu_r = 1,00000 \dots$

- Al, Mn, O, zrak, ...

### Feromagnetizem.

= paramagnetizem z občutno visjimi  $\chi_m$

Sosednji atomi v kristalni strukturi so razporejeni v Weissove domene, znotraj katerih so magn. dipolske momenti istosmerno orientirani. Pod vplivom zunanjskega polja  $\vec{B}$  pa se ti momenti začnejo obračati v smeri polja - magnetenje.

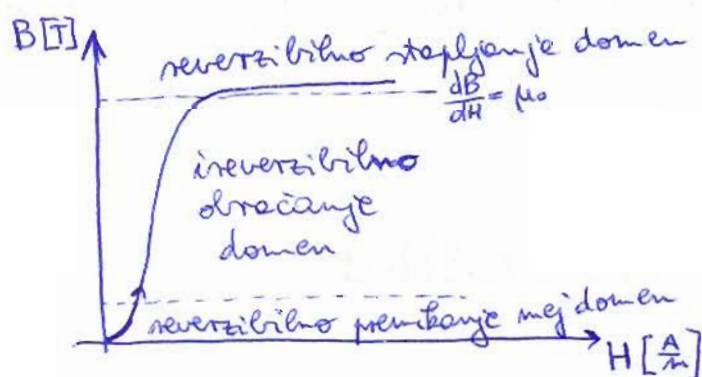
1.) Začetna krivulja magnetenja - deviska krivulja.  
 izotropen feromagnetik:  $M = M(B)$

$$H = \frac{B}{\mu_0} - M(B)$$

$$H = H(B)$$

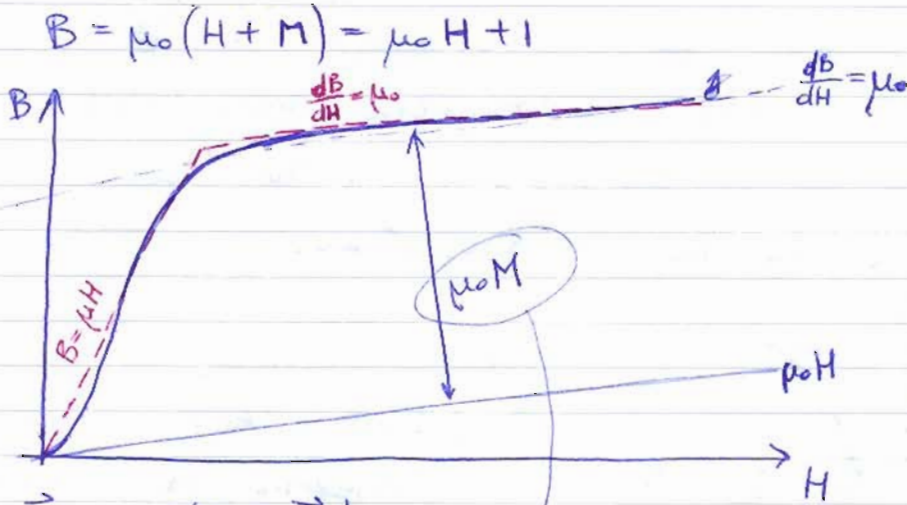
$$B = B(H)$$

Soodrnost med  $H$  in  $B$  se podaja v  $(H, B)$  diagramu.



Datum: 2.) Gostota (B), jakost (H), magnetizacija (M) in polarizacija (I) v (H, B) diagramu.

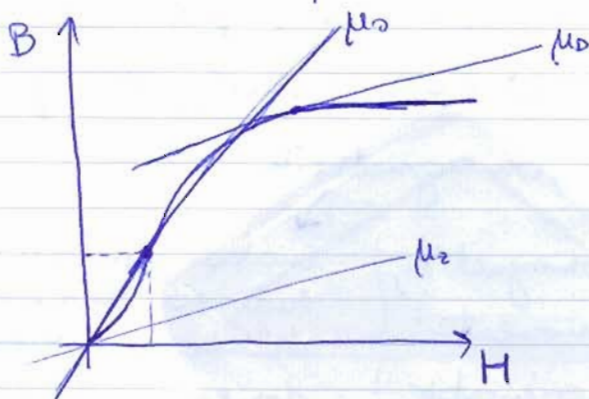
7.00  
8.00  
9.00  
10.00  
11.00  
12.00  
13.00  
14.00  
15.00  
16.00  
17.00  
18.00



$\vec{B} = \mu_0(\vec{H} + \vec{M})$

$B = \mu_0(H + M) = \mu_0 H + \mu_0 M \Rightarrow$  prispevek feromagneta  
in konvencionalni magn. polju

3.) Relativna permeabilnost



$\mu_s = \frac{B}{H}$  statična  
 $\mu_0 = \frac{dB}{dH}$  dinamična  
 $\mu_z = \lim_{H \rightarrow 0} \frac{dB}{dH}$  začetna

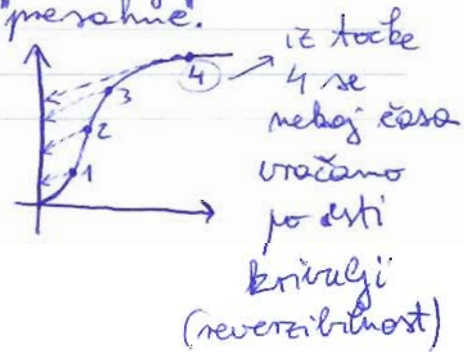
4.) Curiejeva temp.

Nad  $770^\circ\text{C}$  je orientacija magn. dipolnih momentov kaotična.

5.) Remanentna gostota ( $B_r$ )

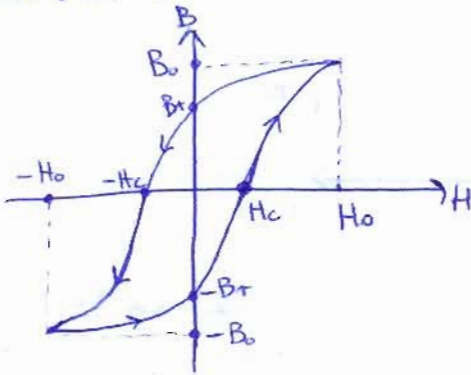
= gostota, ki jo feromagnetik zadrži, ko magnetilni tok prebije oz. ko magnetna jakost "prezraha".

$B_r = \mu_0 M_{\text{inverzibilna}}$



## 6) Histerezna zanka.

Če si zamislimo, da se magn. jakost izmenoma spreminja od  $H_0$  do  $-H_0$  in obratno, potem usmerjenost domen vseskozi fazno zaostaja (kasni). Karnitna petlja je v takem primeru simetrična in jo podajamo v  $(H, B)$  diagramu, ta "petlja" je t. i. histerezna zanka oz. karnitka.



$H_c$  = karnitna poljska jakost = tista jakost, ki je potrebna, da izničimo učinek preostale magnetizacije, da je skupni  $B=0$ .

Glede na širino petlje ločimo:

- tridomagnetne materiale (skoraj pravokotna petlja)
- mehkomagnetne materiale (skoraj "brez površine")

## 7.) O antinagnetikih in ferimagnetikih.

↓  
dnasajo se kot neferomagnetiki; raj imajo dipolske momente  $\parallel$ , a z nasprotno usmerjenostjo

↓  
enaka poravnost velja tudi za ferimagnetike, le da ti se vedno formirajo domene; polarizacija naravnost je le  $\frac{1}{2}$  od tiste pri prvih feromagnetikih

Datum:

## 49. Mejni pogoji magnetnega polja

7.00

8.00

9.00

10.00

11.00

12.00

13.00

14.00

15.00

16.00

17.00

18.00

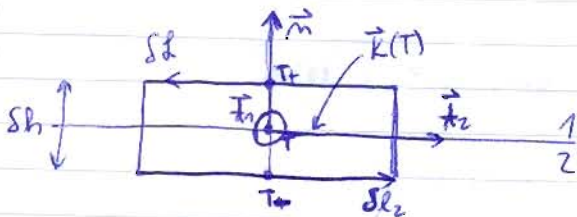
Izhajamo iz dveh temeljnih enačb ~~in~~ v magn. polju:

$$\oint_A \vec{B} \cdot d\vec{a} = 0$$

neizvornost

$$\oint_L \vec{H} \cdot d\vec{l} = \int_A \vec{J} \cdot d\vec{a}$$

vrtinčnost



$$\vec{x}_1 \times \vec{x}_2 = \vec{n}$$

$$\begin{aligned} H_{t2}(T_+) - H_{t2}(T_-) &= -K_{t1}(T) \\ H_{n1}(T_+) - H_{n1}(T_-) &= K_{t2}(T) \end{aligned}$$

$$B_n(T_+) - B_n(T_-) = 0$$

$$\vec{n} \cdot (\vec{B}(T_+) - \vec{B}(T_-)) = 0$$

$$\vec{n} \times (\vec{H}(T_+) - \vec{H}(T_-)) = \vec{K}$$

Če je  $\vec{K} = 0$  velja:

$$\frac{\tan \alpha_1}{\tan \alpha_2} = \frac{\mu_{r1}}{\mu_{r2}}$$

$\alpha_1, \alpha_2$  - kota, ki ~~je~~ je polje sklepa z normalo  $\vec{n}$

## 50. Skalarni magnetni potencial ( $V_m$ )

Če smo zven območje toka ( $\vec{J} = 0$ ) in so izbrane sklenjene zanke  $L$  tokovne, da ne obkrožajo nobenega toka, potem je Ampereov zakon toka homogen:

$$\oint_L \vec{H} \cdot d\vec{l} = 0$$

Ob naštetih pogojih velja:

$$V_m(T_1) - V_m(T_2) = \int_{T_1}^{T_2} \vec{H} \cdot d\vec{l}$$

$$\Theta_{12} = V_{m12} = V_m(T_1) - V_m(T_2)$$

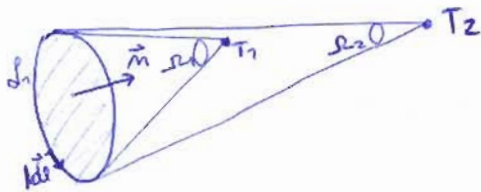
razlika potencialov ustreza magn. napetosti  $\Theta_{12}$

$$V_m(T) = \int_T^R \vec{H} \cdot d\vec{l} ; \text{ če je } R \text{ referenčno mesto, kjer je } V_m = 0$$

$$\vec{H} = -\vec{m} \frac{\partial V_m}{\partial m} \quad \vec{H} \text{ lahko določimo z odvodom v smeri normalne na ekvipotencialko}$$

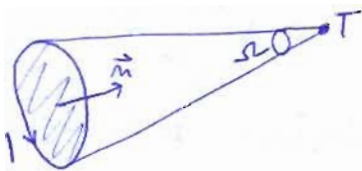
ker  $\vec{H}$  kaže v smer padanja potenciala

## Skalarni magnetni potencial tokovne zanke.



$$V_m(T_1) - V_m(T_2) = \int_{T_1}^{T_2} \vec{H} \cdot d\vec{l}$$

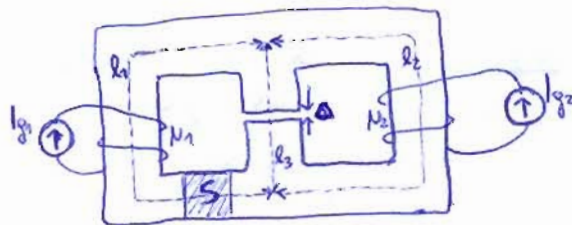
$$V_m(T_1) - V_m(T_2) = \frac{1}{4\pi} (\Omega_1 - \Omega_2)$$



$$V_m(T) = \frac{1}{4\pi} \Omega$$

## 51. Magnetna vezja

Gradniki magnetne strukture:



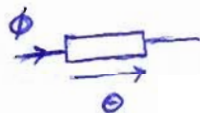
- 1.)  $N_1 I_1, N_2 I_2$  - vrta
- 2.) Polje je ujeto v feromagnetno jedro in se ohranja.  
Presek  $\equiv S$ , srednje dolžine poti:  $l_1, l_2, l_3$
- 3.) Reza ima učinek "upora"

## Elementi magn. vezja.

1.) Magnetni upor

$$\frac{\Phi}{\phi} = R = \frac{1}{\phi} = \left( \frac{H \cdot l}{B \cdot S} \right) \text{ preberemo iz } (H, B) \text{ diagrama, če velja lin. zveza:}$$

$$R = \frac{l}{\mu_0 S}; \quad R = \frac{\Delta}{\mu_0 S}$$



Datum: 2.) Generator magn. napetosti.

7.00

8.00

9.00

10.00

11.00

12.00

13.00

14.00

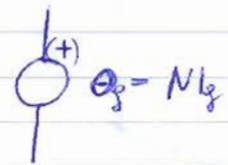
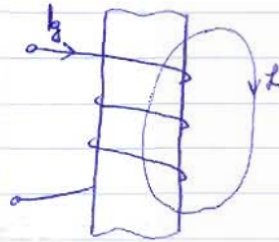
15.00

16.00

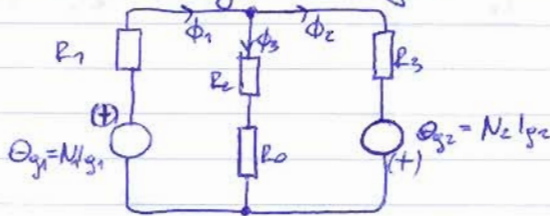
17.00

18.00

$$\Theta = NI_g$$



Modelno magn. vezje.



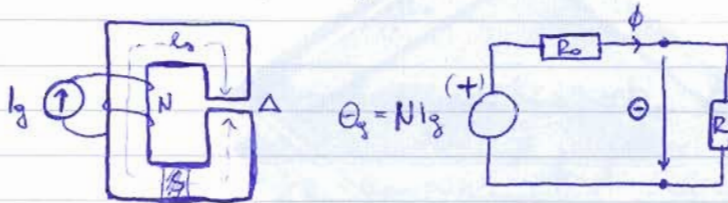
Analiza modelnega magn. vezja.

$$\sum_i (\pm) \Phi_i = 0$$

$$\sum_j (\pm) \Theta_j = 0$$

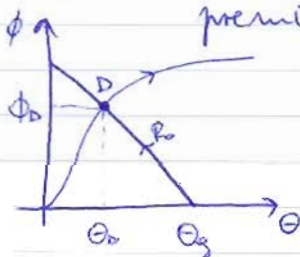
Nelinearno magnetno vezje.

- ko feromagnetsko jedro ni linearno
- rezistor podajamo v  $(\Theta, \Phi)$  diagramu



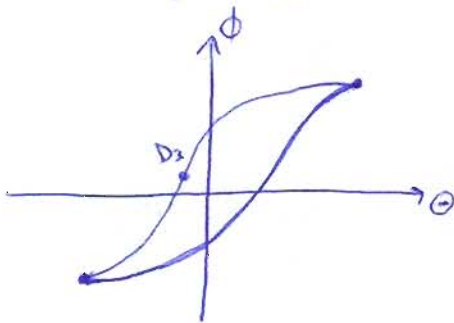
1.) Magnetenje po deviški krivulji.

$\Theta = \Theta_g - R_0 \Phi$  - tej enačbi v  $(\Theta, \Phi)$  diagramu ustreza premica z naklonom  $-G_0 = -\frac{1}{R_0}$

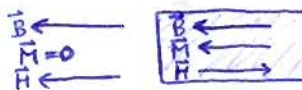


D = delovna točka

2.) Magnetenje po simetrični histerezi pletji.



u  $D_s = Q_{gs} = 0$  in ustrezno stanju, ko  
 bi magnetilni tok izklopili (pretok  
 bi ostajal)  $\rightarrow$  došli bi do trojnega magnet.



V trojnem magnetu sta  $\vec{H}$  nasprotno smer kot  $\vec{B}$ .

Datum:

# DINAMIČNO ELMG POLJE

7.00

## 52. Uvod v elektrodinamiko

8.00

9.00

Veljba plošni ohmski zakon:

10.00

11.00

12.00

13.00

14.00

## Snovne lastnosti v časovno spremenljivem polju.

15.00

16.00

17.00

18.00

Delokracijski: ceni v prevodnikih so bijni, v prev. velja Ohmov z. za poljubne časovne dolžice polja:

$$\vec{J}(T, t) = \gamma \vec{E}(T, t)$$

## Polarizacijski tok.

V čas. spremenljivem el. polju se praktično "sočasno" s spreminjanjem vektorja  $\vec{E}$  spreminja tudi vektor  $\vec{P}$ . Polarizacijskim tokovom v izolatorju (ind.) pripada tokova gostota:

$$\vec{J}_{pd.} = \frac{\partial \vec{P}}{\partial t}$$

## Kvazistatično polje.

Če so prostorske razsežnosti struktur v vezju majhne v primerjavi z  $\lambda_m = \frac{c}{f}$ , potem jim lahko priredimo kvazistatično magn. polje z uporabo Biot-Savartovega z. Enako velja za uporabo Coulombovega z. za el. polje v izolatorju.

V področju kvazistatičnosti uporabljamo Amperov z.:

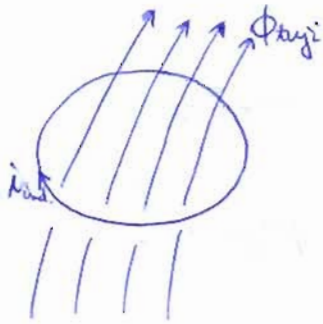
$$\oint \vec{H} \cdot d\vec{l} = \sum_{\text{konk. tokov skozi opno } A \text{ na petlji } l}$$

Polarizacijske toke zanemarimo, kond. pa ~~skoro~~ kjub možnim prebitvam ~~na~~ obravnavamo kot sklenjene.

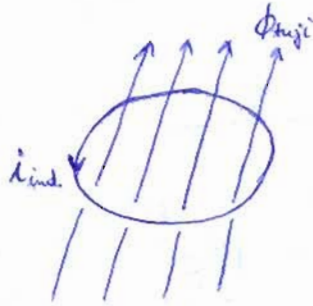
# 53. Faradayev zakon indukcije

Lenzovo pravilo:

Inducirani tok v zanki se vzpostavi vedno tako, da se  $\Phi_{ind.}$  tega toka upira časovni spremembi vzročnega fluksa ( $\Phi_{uzji}$ ).



$$\frac{d\Phi_{uzji}}{dt} > 0 \text{ (naraščajo)}$$



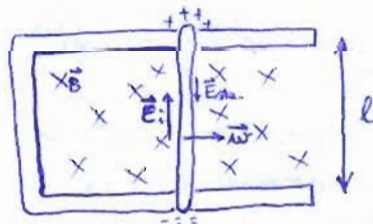
$$\frac{d\Phi_{uzji}}{dt} < 0 \text{ (upada)}$$

Samoindukcija:

Inducirana napetost v zanki je posledica časovne spremembe celotnega fluksa v zanki (tako tujege, kot tudi LASTNEGA).

Inducirana napetost:

$$\oint \vec{E}_{ind.} \cdot d\vec{l} = \mu_{ind}$$



$$\vec{E}_i = \vec{v} \times \vec{B}$$

linearni generator

$$\mu_{ind} = - \frac{d\phi}{dt}$$



→ zaradi upostevanja dakega pravila in ~~Lenzovega~~ Lenzovega pravila

$$\phi = \int_A \vec{B} \cdot d\vec{a}$$

$$\oint \vec{E}_i \cdot d\vec{l} = - \frac{d}{dt} \int_A \vec{B} \cdot d\vec{a}$$

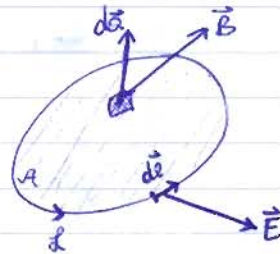
Datum: Druga Maxwellova enačba = Faradayev z. indukcije

7.00  $\vec{E} = \vec{E}_{sta.} + \vec{E}_i$

8.00  $\hookrightarrow$  statična (Coulombova) poljska jakost

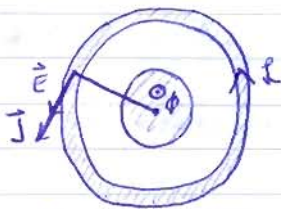
9.00  $\oint_L \vec{E}_{sta.} \cdot d\vec{l} = 0$

10.00  $\oint_L \vec{E} \cdot d\vec{l} = - \frac{d}{dt} \int_A \vec{B} \cdot d\vec{a}$



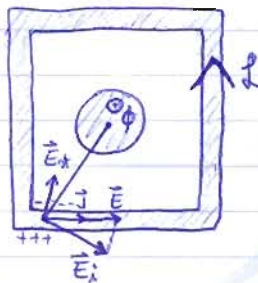
11.00 V dinamičnem polju postane  $\vec{E}$  vrtilično polje:  $\oint_L \vec{E}_i \cdot d\vec{l} \neq 0$

12.00 Inducirano elektrostatično polje.



$\vec{J} = \gamma \vec{E} = \gamma (\vec{E}_i + \vec{E}_{sta.})$

$E_{\varphi} = E_{\varphi i} + E_{\varphi sta.}$



$\vec{E} = \vec{E}_{sta.} + \vec{E}_i$   
 $\vec{J} = \gamma \vec{E} = \gamma (\vec{E}_{sta.} + \vec{E}_i)$

Transformatorsko in gibalna inducirana napetost.

fizične strukture mirujejo in se gostota  $\vec{B}$  časovno spreminja

oblike in/ali lege fizičnih struktur se spreminja

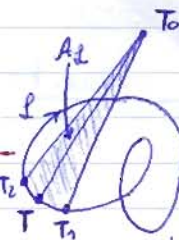
$$\mathcal{U}_i = - \int_{A(t)} \frac{\partial \vec{B}}{\partial t} \cdot d\vec{a} + \oint_{L(t)} (\vec{\omega} \times \vec{B}) \cdot d\vec{l}$$

transformat. ind. nap.

gibalna ind. napetost

Magnetni tok

$\Psi_{magnet} = \int_{A_k} \vec{B} \cdot d\vec{a}$

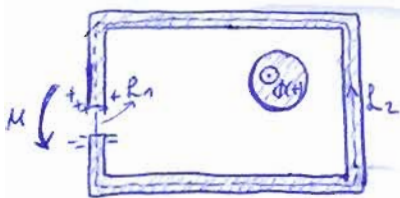


( $\Psi_{magnet} - \text{proi}$ )

$\mathcal{U}_i = - \frac{d\Psi_{magnet}}{dt}$

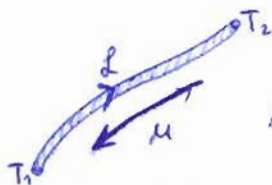
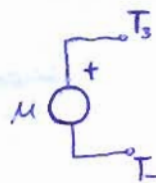
= Faradayev zakon u najbolj' splosni oblik.

## Pojav indukcije v mesklenjenih (prevodnih) konturah.

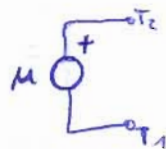


smernost napetosti je isto, kot referenčna smer zanke  $L_1$

$$U_i = \int_{T_1, L_1, T_2} \vec{E}_i \cdot d\vec{l}$$



$$U_{\text{inducirana}} = \int_{T_1, L_2, T_2} (\vec{\omega} \times \vec{B}) \cdot d\vec{l}$$



## 54. Medsebojna in lastna induktivnost

$$L_{jk} = \frac{\Psi_j^{(k)}}{i_k}$$

$$\left[ \frac{Vs}{A} = H \right]$$

če je  $j=k \rightarrow$  lastna induktivnost  
če je  $j \neq k \rightarrow$  medsebojna — " —

$\hookrightarrow$  lastnosti medija morajo biti linearne:  $\vec{B} = \mu \vec{H}$

### Dileme in težave pri določanju induktivnosti.

Pri debelih vodniku pride do harmoničnega vzbujanja do božnega efekta = tovara gostota je ob površini večja, kot na sredini.

Izbrina konture pri debelih vodniku (krožen):  
ne izberemo ne notranje, ne zunanje, ne srednje,  
ampak izračunamo povprečno sklopov:

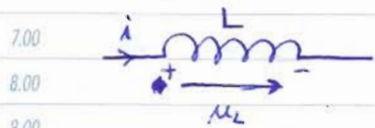
$$\Rightarrow L_{jk} = \frac{\langle \Psi_j^{(k)} \rangle}{i_k}$$

### Vzajemnost medsebojnih induktivnosti.

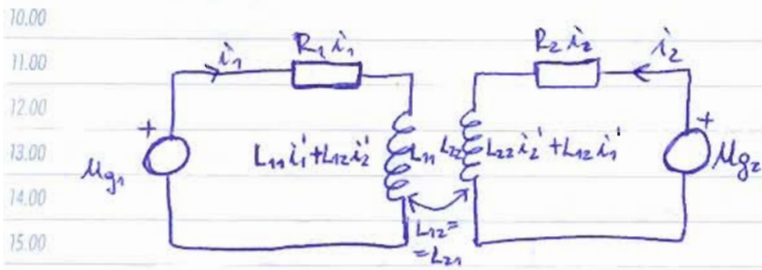
$$L_{ji} = L_{ij}$$

$$\frac{\Psi_j^{(i)}}{i_i} = \frac{\Psi_i^{(j)}}{i_j}$$

Datum: Tuljava kot gradnik el. vezij:



$$\mu_L = \frac{d\psi}{dt} = \frac{d}{dt}(L \cdot i) = L \cdot i'$$



modelno vezje sklopljenih tuljav in padci napetosti na posameznih elementih

### Faktor sklopa.

govori o stopnji magnetne povezanosti dveh tuljav

$$k_{ij} = \frac{\psi_i^{(j)} \psi_j^{(i)}}{\psi_i^{(i)} \psi_j^{(j)}} = \frac{L_{ij} L_{ji}}{L_{ii} L_{jj}} \quad 0 \leq k_{ij} \leq 1$$

faktor stresanja:

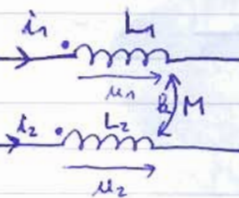
$$\beta = 1 - k^2$$

$$M = k \sqrt{L_1 L_2}$$

;  $M \equiv$  medsebojna induktivnost

$L_1 \equiv$  lastna ind. prve tuljave

$L_2 \equiv$  " " " 2. " "



če toba "tečeta" v piko se magnetna pretoka podpirata.

$$\mu_1 = L_1 i_1' + M i_2'$$

$$\mu_2 = L_2 i_2' + M i_1'$$

# 55. Energija magnetnega polja

## Magnetna energija linearnih sistemov.

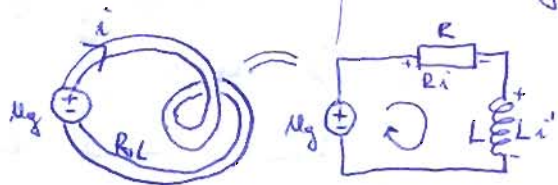
$A_g(t_1, t_2) = W_e(t_1, t_2) + W_m(t_1, t_2)$

del energije, ki se porabi za gradnjo magn. polja (ob primernih pogojih ga je mogoče dati nazaj)

$\rightarrow$  toplotna energ. oz. t.i. Joulske izgube

$W_m(t_1, t_2) = W_m(t_2) - W_m(t_1)$

$W_m(t) = \frac{1}{2} \sum_{j=1}^m i_j \Psi_j = \frac{1}{2} \sum_{j=1}^m \sum_{k=1}^m L_{jk} i_j i_k$



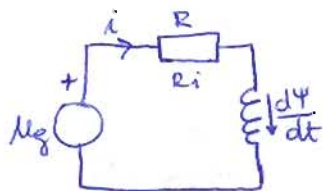
Energ. magnetenje pri sklopu dveh tuljav:

$W_m = \frac{1}{2} L_{11} i_1^2 + L_{12} i_1 i_2 + \frac{1}{2} L_{22} i_2^2$

trenutna energ. magn. polja (za n sklopjenih tuljav)

## Tokovno-napetostne in energijske razmere v nelinearnih magnetnih strukturah.

Pojma induktivnosti (L) ni več. Primer za eno magnetno navitje na nelinearnem feromagnetnem jedru ( $\Psi = \Psi(i), l_s, S$ ). Graf (H, B) in (i,  $\Psi$ ) je histereza.

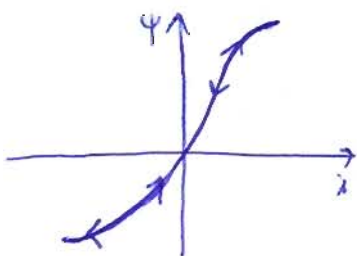


$W_{mag}(t) = \int_0^t i d\Psi$

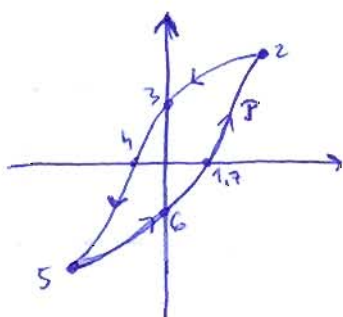
$\rightarrow$  energijski VLOŽEK za magnetenje jedra med  $t=0$  in  $t$ .

$-u_g + R_i i + \frac{d\Psi}{dt} = 0 \quad | \cdot i$

$A_g(t_1, t_2) = W_e(t_1, t_2) + \int_{t_1}^{t_2} i d\Psi$



ni histereznih izgub



$W_m(t_1, t_2) = \int_{t_1}^{t_2} i d\Psi = \oint_P i d\Psi$

$P_{hist.} = f \oint_P i d\Psi$

histerezne izgube

$f \equiv$  frekvenca vzbujanja

Datum: Gostota magnetne energije.

$$W_{\text{mag}}(t) = \int_V \vec{H} \cdot d\vec{B}$$

$$W_{\text{mag}}(t_1, t_2) = \int_{t_1}^{t_2} \vec{H} \cdot d\vec{B}$$

$$W_{\text{mag}}(t) = \int_V w_{\text{mag}}(t) \cdot dV$$

11.00

Če je prostor magnetno izotropen ( $\vec{B} \parallel \vec{H}$ ), pišemo:

$$W_{\text{mag}}(t) = \int_V \vec{H} \cdot d\vec{B}$$

15.00

Gostota histerezni izgub ustreza površini histerezne zanke v  $(H, B)$  diagramu.

18.00

$$P_{\text{hist.}} = S \cdot \oint \vec{H} \cdot d\vec{B}$$

Če je prostor linearen, potem gostoto akumulirane magn. energ. zapišemo kot:

$$W_m(t) = \frac{B^2(t)}{2\mu} = \frac{\mu H^2(t)}{2}$$

$$W_m = \frac{\vec{B} \cdot \vec{H}}{2}$$

Induktivnost kot energijski koeficient.

Pogoj: linearna struktura

$$L_{jk} = \frac{1}{I_j I_k} \int_V \vec{B}_j \cdot \vec{H}_k dV$$

vzajemnost:

$$\vec{B}_j \cdot \vec{H}_k = \mu \cdot \vec{H}_j \cdot \vec{H}_k = \vec{H}_j \cdot \vec{B}_k \Rightarrow L_{jk} = L_{kj}$$

Gibalni procesi v magn. polju.

$$\vec{F}_m = \left( \frac{\partial W_m}{\partial x}, \frac{\partial W_m}{\partial y}, \frac{\partial W_m}{\partial z} \right)$$

⇒ za linearni sistem (za nelinearni je formula ista, le dodamo - pred parcialne odvode)

Ploskovne sile na mejah linearnih magnetikov.

$$F_{ms} = \frac{B^2}{2\mu_0} S$$

↓  
f<sub>ms</sub>  
sila v reži

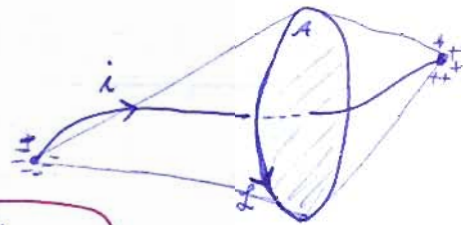
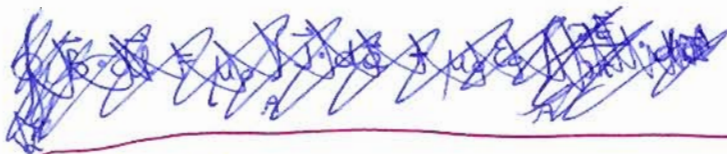
- pomeni, da je prilezna

$$f_{ms} = \frac{1}{2} (\mu_2 - \mu_1) \left( H_t^2 + \frac{B_m^2}{\mu_1 \mu_2} \right)$$

umerjenost je iz prostora z večjim  $\mu$  v prostor z manjšim  $\mu$

## 56. Pāzīsinjen Amperov zakon toka

Vrtinācnost vektorja  $\vec{B}$  odprte tokašne līnī!



$$\oint_L \frac{\vec{B}}{\mu_0} \cdot d\vec{l} = \underbrace{\sum_{\text{toku šķērsi šķērso A no L}}}_{\text{konduktīvi toki}} + \int_A \frac{\partial(\epsilon_0 \vec{E})}{\partial t} \cdot d\vec{a}$$

Poplašīter vrtinācnosti  $\vec{B}$  no vse toke.

$$\oint_L \frac{\vec{B}}{\mu_0} \cdot d\vec{l} = \underbrace{\sum_{\text{usek toku šķērsi šķērso A no L}}}_{\text{īsl šķērsi A}} + \int_A \frac{\partial(\epsilon_0 \vec{E})}{\partial t} \cdot d\vec{a}$$

$$\text{īsl šķērsi A} = \int_A \vec{J}_{\text{konv.}} \cdot d\vec{a} + \int_A \vec{J}_{\text{konv.}} \cdot d\vec{a} + \int_A \frac{\partial \vec{P}}{\partial t} \cdot d\vec{a} + \oint_S \vec{M} \cdot d\vec{l}$$

### I. Maxwellova enāčha

$$\vec{D} = \epsilon_0 \vec{E} + \vec{P}$$

$$\vec{J}_{\text{konv.}} + \vec{J}_{\text{konv.}} = \vec{J}_{\text{prosti}}$$

mobile elektrone

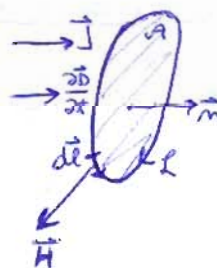
$$\vec{H} = \frac{\vec{B}}{\mu_0} - \vec{M}$$

$$\oint_L \vec{H} \cdot d\vec{l} = \int_A \left( \vec{J}_{\text{prosti}} + \frac{\partial \vec{D}}{\partial t} \right) \cdot d\vec{a} ; \frac{\partial \vec{D}}{\partial t} = \text{preņikalni or. poljiski tok}$$

## 57. Enāčhe ELMG poļo

I. Maxwellova en. - pāzīsinjen Amperov zakon.

$$\oint_L \vec{H} \cdot d\vec{l} = \int_A \left( \vec{J} + \frac{\partial \vec{D}}{\partial t} \right) \cdot d\vec{a}$$



Datum:

II. Maxwellova en. - Faradayev zakon indukcije.

7.00

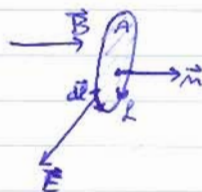
8.00

9.00

10.00

11.00

$$\oint_L \vec{E} \cdot d\vec{l} = - \int_A \frac{\partial \vec{B}}{\partial t} \cdot d\vec{a}$$



12.00

13.00

14.00

15.00

16.00

17.00

18.00

III. Maxwellova en. - Gaussov stavek magnetnega polja.

$$\oint_A \vec{B} \cdot d\vec{a} = 0$$

18.00

IV. Maxwellova en. - Gaussov stavek el. polja.

$$\oint_A \vec{D} \cdot d\vec{a} = \int_V \rho \cdot dV$$

Lorentzova sila.

$$\vec{F} = q(\vec{E} + \vec{v} \times \vec{B})$$

Kontinuitetna enačba.

$$\oint_A \vec{J} \cdot d\vec{a} = - \int_V \frac{\partial \rho}{\partial t} dV$$

↳ ker  $\vec{J}$  kaže iz motorja

Joulov zakon.

$$p = \vec{J} \cdot \vec{E}$$

↳ izgubna moč

Energija elektrenja.

$$W_{\text{elkt.}}(t) = \int_V \vec{E} \cdot d\vec{D}$$

↓  
energijski vložek za  
elektrenje od časa 0 do t

$$W_e = \frac{\vec{E} \cdot \vec{D}}{2}$$

⇒ če je proces reverzibilen  
govorimo o akumulirani  
el. energ. (velja za  
linearne sisteme)

## Energija magnetno.

$$W_{\text{mag.}}(t) = \int \vec{H} \cdot d\vec{B}$$

↓  
gost. energijskega vložka

$$w_m = \frac{\vec{H} \cdot \vec{B}}{2}$$

⇒ linearni sistemi,  
reversiblen proces

## Snovne lastnosti.

Ohmov zakon v prevodnikih:  $\vec{j} = \gamma \vec{E}$ ,

v snovju delovanje neelektričnih potiskih sil:

$$\vec{j} = \gamma (\vec{E} + \vec{E}_g)$$

Dielektriki:  $\vec{D} = \epsilon \vec{E}$

Magnetiki:  $\vec{B} = \mu \vec{H}$

## Sekundarni viri v snoveh.

$$\vec{D} = \epsilon_0 \vec{E} + \vec{P}$$

$$\vec{H} = \frac{\vec{B}}{\mu_0} - \vec{M}$$

## Dopolnilna enačba pri gibanju.

$$\mu_i = \oint_{L(t)} \vec{E}_i \cdot d\vec{l} = \underbrace{\int_{A(t)} \frac{\partial \vec{B}}{\partial t} \cdot d\vec{a}}_{\text{transformatorski del}} + \underbrace{\oint_{L(t)} (\vec{\omega} \times \vec{B}) \cdot d\vec{l}}_{\text{gibalni del}}$$

## 58. Osnove ELMG valovanja in difuzije

Datum:

# EL. VEZJA SPREMENLJIVIH TOKOV

7.00

8.00

9.00

10.00

11.00

12.00

13.00

14.00

15.00

16.00

17.00

18.00

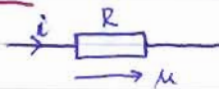
## 59. Uvod v linearna el. vezja

dravnaravno idealne elemente, brez parazitnih lastnosti

## 60. Elementi linearnih el. vezij

Delimo jih na pasivne: upor, kondenzator, tuljava in na aktivne: neodvisni tokovni in nap. viri.

Upor.



$$u = Ri; \quad R = \frac{1}{G}$$

$$p_t = u \cdot i; \quad p_t = \text{trenutna moč}$$

$$W_t(t_1, t_2) = \int_{t_1}^{t_2} p_t dt; \quad \text{kolčina sproščene topl. energ.}$$

$$P = \frac{1}{T} \int_+^{+T} p_t(t') dt'; \quad \text{povprečna moč v eni periodi T}$$

$$I_{\text{ef}} = \sqrt{\frac{1}{T} \int_+^{+T} i^2(t') dt'}$$

$$U_{\text{ef}} = \sqrt{\frac{1}{T} \int_+^{+T} u^2(t') dt'}$$

$$P = U_{\text{ef}} \cdot I_{\text{ef}}$$

$$I_{\text{sr.}} = \frac{1}{T} \int_+^{+T} i(t') dt'$$

$$U_{\text{sr.}} = \frac{1}{T} \int_+^{+T} u(t') dt'$$

⇒ povprečni oz. srednji vrednosti toka in napetosti

Kondenzator.



$$i = C u'$$

$$u(t_2) - u(t_1) = \frac{1}{C} \int_{t_1}^{t_2} i dt$$

$$W_e = \frac{1}{2} C u^2$$

$$p_e = u i$$

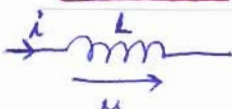
Tuljava.

$$u = L i'$$

$$i(t_2) - i(t_1) = \frac{1}{L} \int_{t_1}^{t_2} u dt$$

$$W_m = \frac{1}{2} L i^2$$

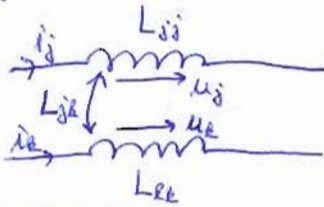
$$p_m = u i$$



## Sklop več tuljav.

map. na  $j$ -ti tuljavi za sklop več magn. povezanih tuljav:

$$\mu_j = \sum_{k=1}^m L_{jk} i_k$$



$$W_m(t) = \frac{1}{2} \sum_{j=1}^m \sum_{k=1}^m L_{jk} i_j i_k$$

$$p_m = \sum_{j=1}^m \mu_j i_j$$

## 61. Kirchhoffova zakona in bilanca moči

I. K.Z.:

$$\sum_{k=1}^m (+) i_k = 0$$

II. K.Z.:

$$\sum_{j=1}^m (+) \mu_j = 0$$

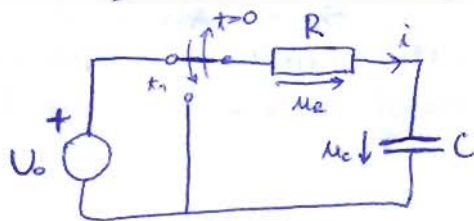
Stevek Tellegena:

$$\sum_{j=1}^m \mu_j i_j = 0$$

$\sum$  trenutnih moči generatorjev =  $\sum$  trenutnih moči na pasivnih elementih

$\sum$  energijskih vložkov gen. =  $\sum$  sproščene toplote +  $\sum$  v tem času akumulirane el. in mag. energije

## 62. Osnove prehodnih pojavov



1.) Vključ

$$-U_0 + \mu_R + \mu_C = 0$$

↳ napisemo D.E in vstavimo začetni pogoj  $\mu_C(0^+) = 0$   
časovna konstanta:  $\tau = RC$

2.) Preklop

$$\mu_R + \mu_C = 0; \quad U_1 = \mu(t_1) = U_0(1 - e^{-t_1/\tau})$$

Datum:

## 63. Harmonično vzbušana el. vezje

7.00 Kompleksor harmonične količine.

8.00

9.00  $f(t) = F \cos(\omega t + \varphi_f)$

$\sin \alpha = \cos(\alpha - \frac{\pi}{2})$

10.00

11.00  $F \equiv$  amplituda12.00  $\varphi_f \equiv$  fazni zamik (koliko je fja premaknjena v levo)

13.00

14.00  $e^{j\varphi} = \cos \varphi + j \sin \varphi$

15.00

16.00  $\underline{E} = F e^{j\varphi_f} = F(\cos \varphi_f + j \sin \varphi_f) = F \underline{1} \varphi_f$

17.00

18.00  $\underline{E}_1 + \underline{E}_2 = (\operatorname{Re}(\underline{E}_1) + \operatorname{Re}(\underline{E}_2)) + j(\operatorname{Im}(\underline{E}_1) + \operatorname{Im}(\underline{E}_2))$

## 64. Kompleksni račun

Relacije med kompleksorjema toka in napetosti na pasivnih elementih.

1.) UPOR

$\underline{U} = R \underline{I}; \varphi_u = \varphi_i$  fazi sta enaki

$\underline{U} = R \underline{I}$

2.) KONDENZATOR

$\underline{I} = \omega C \underline{U}; \varphi_i = \varphi_u + \frac{\pi}{2}$  faza toka je za  $\frac{\pi}{2}$  večja od faze napetosti

$\underline{I} = j\omega C \underline{U}$

3.) TULJAVA

$\underline{U} = \omega L \underline{I}; \varphi_u = \varphi_i + \frac{\pi}{2}$

$\underline{U} = j\omega L \underline{I}$

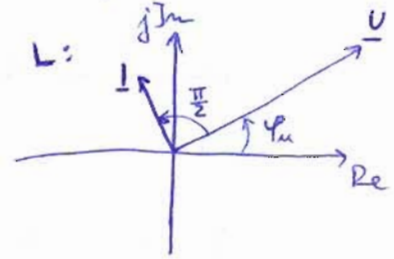
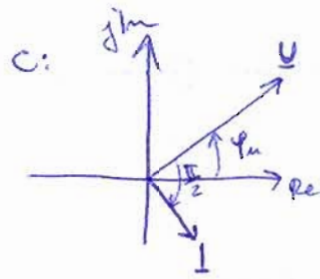
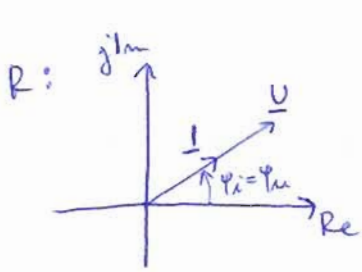
4.) SKLOPLJENI TVLJAVI

$\underline{U}_1 = j\omega L_1 \underline{I}_1 + j\omega M \underline{I}_2$

$\underline{U}_2 = j\omega M \underline{I}_1 + j\omega L_2 \underline{I}_2$

## Kozalčni diagram.

Pomenbne so dolžine kozalcev in ~~to~~ ~~poti~~ poti.



## Kirchhoffova zakona v kompleksnem.

za kozalce napetosti in toka veljata I. in II. K.Z.

## Impedanca in admitanca.

$$\underline{Z} = \frac{U}{I}$$

$$\underline{Y} = \frac{1}{\underline{Z}}$$

$$\underline{Z} = \underbrace{R}_{\text{resistanca}} + j \underbrace{X}_{\text{reaktanca}}$$

$$\underline{Z} = Z e^{j\varphi}$$

upor:  $\underline{Z} = R$

kond.:  $\underline{Z} = \frac{1}{j\omega C} = \frac{-j}{\omega C}$

tuljava:  $\underline{Z} = j\omega L$

Zaporedni in vzporedni vezavi lahko (podobno kot pri enosmernih vezjih  $R_{\text{sk}}$ ) priredimo nadomestno impedanco in admitanco.

## Kompleksna moči - delovna, jalova in navidezna moči.

Povprečno ~~moč~~ moč ( $\bar{p}$ ) izmenjen o delovna moč in

je pisemo:

$$\underline{P} = \frac{1}{2} UI \cos \varphi \quad [\text{W}] \quad \cos \varphi \equiv \text{faktor delavnosti}; \quad \varphi \in \left[-\frac{\pi}{2}, \frac{\pi}{2}\right]$$

$$P \geq 0$$

Jalova oz. reaktivna moč je amplituda izmenjujoče

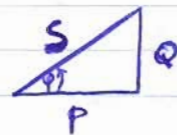
moči:  $\underline{Q} = \frac{1}{2} UI \sin \varphi \quad [\text{VAR}]$

Datum: Navidezna moč oz. njena kompleksor:

$$\underline{S} = P + jQ \quad [\text{VA}]$$

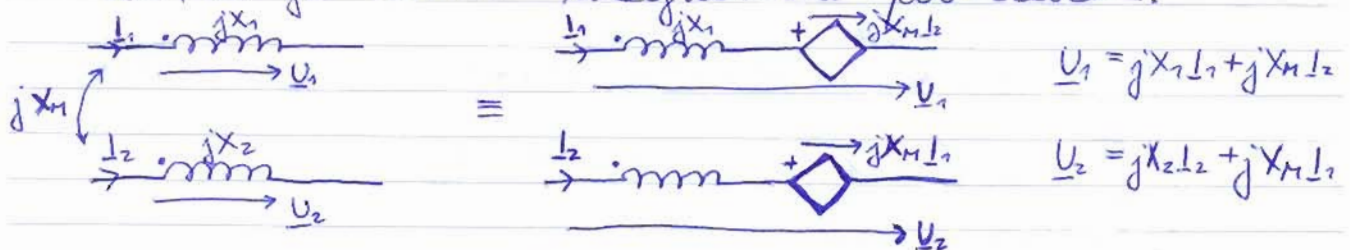
$$\underline{S} = \frac{1}{2} \underline{U} I^* = \frac{1}{2} \underline{Z} I^2 = \frac{1}{2} \underline{Y}^* U^2$$

$$S = \sqrt{P^2 + Q^2} = \frac{1}{2} UI$$



## 65. Metode reševanja harmonično vzburjenih vezij

Če vezje vsebuje magnetno sklopljene tuljave je potrebno tokovne tuljave razcepiti na pasivni del, ki je lasten induktivnosti tuljave in generatorski del, ki je lasten magnetnemu povezovanju.



1.) Metoda vezjnih tokov:

Vezjne napetosti izrazimo z vezjnimi tokovi + dodamo tokovne enačbe (k.z. za spojnice).

2.) Metoda vezjnih napetosti:

doljša pot, podobno kot spoj. potenciali

3.) Metoda zaničnih tokov:

Podobno kot pri enosmernih vezjih (izračunamo zanične toke  $\Rightarrow$  dobimo vezjne toke)

## 66. Stavki o harm. vzburjenih vezjih

### Stavek superpozicije.

Velja za lin. vezje s koherentnimi viri (~~napetosti~~ napetosti (toki) nihajo z enako frekvenco).

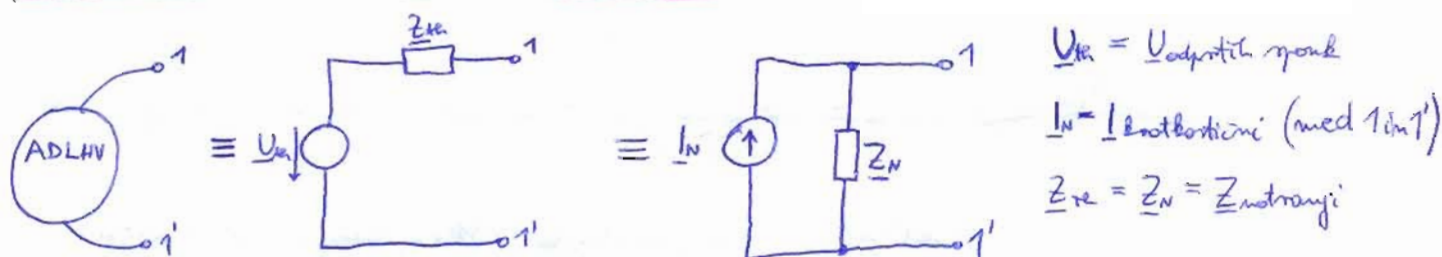
Kazalec toka (~~napetosti~~ napetosti) neke veje moramo izraziti kot vsoto kazalcev delnih tokov (napetosti), ki jih povzročajo posamezni viri v vezju  $\Rightarrow$  za kompleksni prostor.

Za nekoherentne vire stavek velja samo v časovnem prostoru.

## Stavek o nadomestitvi.

Če v harm. vezji poznamo tok veje ( $I$ ) ali nap. veje ( $U$ ), potem lahko vejo zamenjamo s tokovnim virom  $I_g = I$  ali nap. virom  $U_g = U$  in razmere v vezji ostanejo nespremenjene.

## Stavek Thevenina in Nortona.



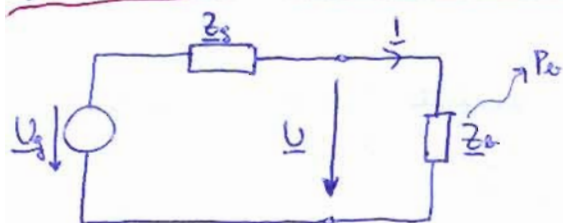
## Stavek Tellegena.

Če ustrojninsko označimo bazalce nap. in tokov veje:

$$\sum_{j=1}^m \frac{1}{Z} U_j I_j^* = 0 \quad ; \quad m = \text{št. vej}$$

Vsota kompleksnih moči generatorjev je enaka vsoti kompleksnih moči na bremenih.

## Stavek maksimalne delovne moči.



$$Z_o = R_o + jX_o$$

$$U_g = U_g e^{j\omega t}$$

$$Z_g = R_g + jX_g$$

tok in nap. sta soforna (rezonanca)

Maksimalna moči nastopi pri  $Z_o = Z_g^*$ , takrat je max. delovna moč na bremenu

$$P_{\text{max.}} = \frac{U_g^2}{8R_g}$$

ko je bremenska upornost čisto realna velja ( $X_o = 0$ ):

$$P_{\text{max.}} = \frac{U_g^2}{4(R_g + R_o)}$$

Datum: Stavek recipročnosti.

7.00

8.00

9.00

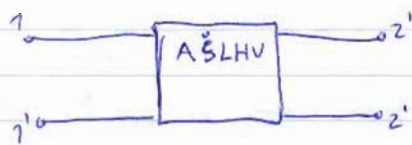
10.00

11.00

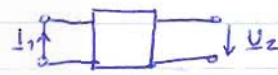
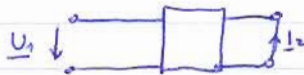
12.00

13.00

14.00



$$\frac{U_1}{I_2} = \frac{U_2}{I_1}$$



15.00

16.00

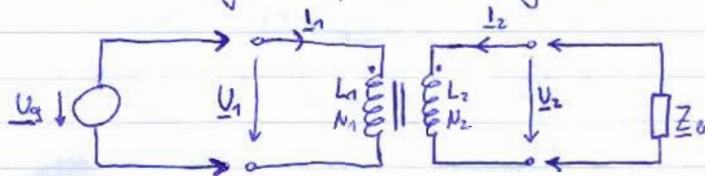
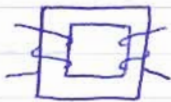
17.00

## 67. Posebne vezave elementov

18.00

Idealiziran transformator - brez izgubni in popolno sklopljen.

Ohmske upornosti <sup>navitij</sup> ( $R$ ) zanemarimo glede na induktivne ( $\omega L$ ), feromagnetno jedro je idealna povezava med navitjema (brez notranjih toplotnih izgub).



napetostna preštava ( $n$ ):

$$\frac{U_1}{U_2} = \frac{N_1}{N_2} = n$$

magnetilni tok (ko je  $I_2 = 0$ , transf. je v prazen teku):

$$I_{1m} = \frac{U_1}{j\omega L_1}$$

navtežni tok (če je na sekundarju priključena  $Z_0$ , teče skozi njo tok  $I_2 = -I_2 \Rightarrow$  ta tok izzove na primarju navtežni tok):

$$\frac{I_{1n}}{I_2} = -\frac{N_2}{N_1}$$

tokovna preštava:

$$\frac{I_1}{I_2} \approx -\frac{N_2}{N_1}$$

transformacija moči:

$$\underline{S}_1 = \underline{S}_{in} + \underline{S}_2$$

Idealni, brezizgubni, popolno sklopjeni transformator.

→ ko je magn. jedro idealno ( $\mu \rightarrow \infty$ )  $\Rightarrow L_1, L_2, M \rightarrow \infty$

$$\underline{I}_{in} = 0$$

$$\underline{I}_{1r} = \underline{I}_1 = -\frac{\underline{I}_2}{n}$$

$$\underline{S}_1 = \underline{S}_2$$

$$\underline{Z}_{out} = n^2 \underline{Z}_L$$

## 68. Trifazni sistem napetosti

### Osnove večfaznih sistemov.

Večfazni sistem napetosti razumemo kot sistem koherentnih harmoničnih napetostnih virov s katerim vzburjamo kako večpolno pasivno vezje.

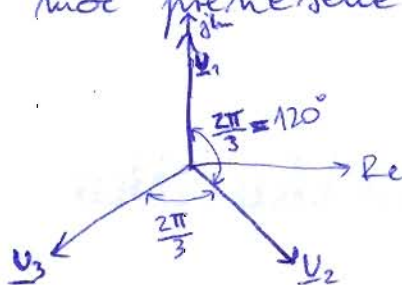
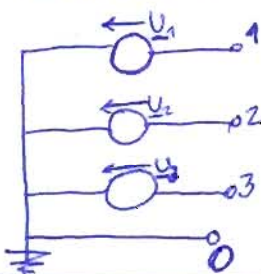
Kompleksni moči po posameznih fazah:  $\underline{S}_k = \frac{1}{2} \underline{U}_k \underline{I}_k^*$

Trenutna moč, ki jo sistem generatorjev daje v pasivno vezje:  $p(t) = \sum_{k=1}^n u_k(t) \cdot i_k(t)$

### Simetrični trifazni sistem.

Prednosti:

- omogoča izvedbo ustilnega polja (asinhronski motor)
- trifazni doljavod (trije vodniki) zmora na določnem napetostnem nivoju prenesti 3x večjo moč kot enofazni (dva vodnika)
- konstantna moč prenesene energije



Datum: Priveditev kompleksorjev k efektivnim vrednostim harmoničnih količin.

7.00

8.00 Do sedaj sta bila  $\underline{U}$  in  $\underline{I}$  vezana na amplitudi, v  
 9.00 energetiki pa so uveljavljeni bazalci toka in  
 10.00 napetosti, ki so prirejani na efektivno vrednost ( $\underline{I}_{ef}, \underline{U}_{ef}$ )

11.00  
 12.00 
$$\underline{I}_{ef} = \frac{I}{\sqrt{2}} \quad \underline{U}_{ef} = \frac{U}{\sqrt{2}}$$

13.00  
 14.00 Impedanca na spremembo ni občutljiva ( $\underline{Z} = \frac{\underline{U}}{\underline{I}} = \frac{\underline{U}_{ef}}{\underline{I}_{ef}}$ ),  
 15.00 izjema je le kompleksor moči:

16.00  
 17.00 
$$\underline{S} = \frac{1}{2} \underline{U} \underline{I}^* = \underline{U}_{ef} \cdot \underline{I}_{ef}^*$$

18.00

V nadaljevanju bomo pripis "ef" izpuščali! Čeprav bomo operirali z efektivnimi bazalci.

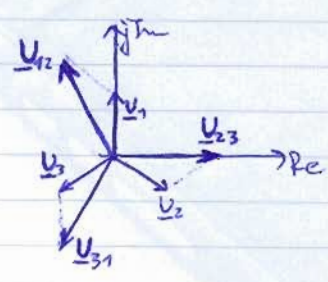
Medfazne napetosti.

= napetosti med posameznimi fazami:

$$\underline{U}_{ij} = \underline{U}_i - \underline{U}_j \quad \underline{U}_{ij} = \underline{U}_{ji}$$

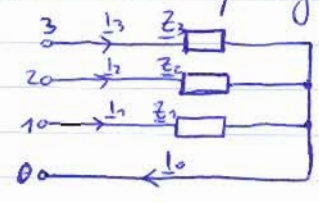
$$\underline{U}_1 = U_f \angle 90^\circ \quad \underline{U}_2 = U_f \angle -30^\circ \quad \underline{U}_3 = U_f \angle -150^\circ \quad U_f = 220V$$

~~$$\underline{U}_{12} = U_m \angle 120^\circ \quad \underline{U}_{23} = U_m \angle 0^\circ \quad \underline{U}_{31} = U_m \angle -120^\circ$$~~ 
$$U_m = U_f \cdot \sqrt{3} = 380V$$



Trifazno breme v zvezda vezavi.

Bremena približno na posamezne faze napetosti:

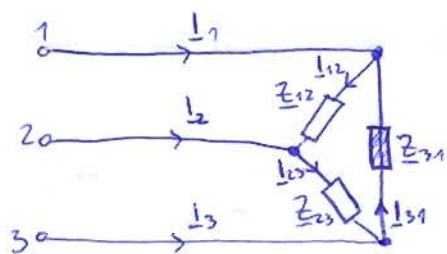


$$\underline{I}_i = \frac{\underline{U}_i}{\underline{Z}_i} \quad i = 1, 2, 3$$

$$\underline{I}_0 = \sum_{i=1}^3 \frac{\underline{U}_i}{\underline{Z}_i}$$

Če je breme simetrično ( $Z_i = Z$ ) je povratni tok nič.

## Trifazna mreža u vezavi trikot.



0

$$I_{ij} = \frac{U_{ij}}{Z_{ij}}$$

V trikotno vezavo se dricajno veže  
simetrična <sup>trifazna</sup> mreža (npr. trifazni  
motor  $\rightarrow$  simetričnim nabitjem)

$$I_1 = I_{12} - I_{31}; \quad I_2 = I_{23} - I_{12}; \quad I_3 = I_{31} - I_{23}$$

MADE BY GOLOB<sup>TM</sup>